

ISİL KONFOR İÇİN GEREKLİ VÜCUT SICAKLIKLARI VE ORTAM ŞARTLARI

Ömer KAYNAKLI*, Recep YAMANKARADENİZ

*Uludağ Üniversitesi, Müh-Mim. Fak., Makine Müh. Böl., Bursa, TÜRKİYE,
kaynakli@uludag.edu.tr*

ÖZET

Endüstrileşmiş ülkelerde insanlar zamanlarının yaklaşık %90'ını kapalı mekanlarda geçirmektedirler. Kapalı mekanlarda işit konfor etkileyen çevresel parametreler, hava sıcaklığı, nem, hızı ve ortalama ışınım sıcaklığıdır. İşit çevrenin değerlendirilmesinde, bu parametrelerin yanında kişinin giysi durumu ve aktivitesi de göz önünde bulundurulmalıdır. Bu çalışmada, işit konfor sağlayan deri sıcaklığı ($t_{sk,req}$), terlemeyle olan ısı kaybı ($E_{sk,req}$) değerleri ve vücut üzerindeki işit yükünün yaklaşık sıfır olması gereği referans alınarak, işit konfor parametreleri belirlenmeye çalışılmıştır. Ayrıca vücutun iç bölme ve ortalama sıcaklıklarını tespit edilmiştir.

Anahtar Kelimeler : Isit Konfor, işit konfor parametreleri, vücut iç bölme ve deri sıcaklıkları

THERMAL COMFORT FOR REQUIRED BODY TEMPERATURES AND AMBIENT CONDITIONS

ABSTRACT

In industrialized countries about 90 % of the time is spent indoors. The environmental parameters affecting indoor thermal comfort are air temperature, humidity, air velocity and mean radiant temperature. In assessing thermal environment, besides these environmental parameters, we should also consider some personal parameters such as clothing and human activity. In this study, we tried to determine the thermal comfort factors with reference to required skin temperature ($t_{sk,req}$) and sweating heat loss ($E_{sk,req}$) and necessity of heat load being equal to zero. We also determined body core and mean body temperatures.

Key Words : Thermal comfort, thermal comfort factors, body core and skin temperatures

1. GİRİŞ

Vücut ile çevre arasındaki ısı geçişi ile ilgili yaygın olarak iki model kullanılır. İlk, Fanger ve arkadaşları tarafından geliştirilen Sürekli Rejim Enerji Dengesi Modeli'dir ve vücudu bütün olarak ele alıp enerji depolamasının ihmäl edilebileceğini ve vücut sıcaklıklarının zamana göre sabit kaldığını kabul eder (1,2). İkincisi Gagge ve arkadaşları tarafından geliştirilen İki Bölmelik Anlık Enerji Dengesi

Modeli'dir. Bu model ise vücutu iç içe iki silindir olarak kabul eder ve iç silindir iç organları, kasları ve kemikleri, dış silindir ise deri ve ona bağlı dokuları simgeler. Her iki tabaka arasında iletim ve kan akışı yoluyla ısı geçiş söz konusudur. İç bölme ve deride birim zamanda depolanan ısıl enerji, bu tabakaların sıcaklığının zamanla değişmesine neden olur (1,2).

İnsanların, bulunduğu ortamdan ısıl olarak memnuniyeti şeklinde tanımlanan ısıl konfor, his ve duygular ile ilgili bir kavramdır. ısıl konfor genel olarak, ortam sıcaklığına, bağılı neme, ortamda hava hareketlerine, ısnım sıcaklığına, kişinin hareketliliğine (metabolik aktiviteye) ve giysi dirençlerine bağlıdır (1,3). Günümüz teknolojisinde, hemen hemen her dahili ortamın iklimlendirilmesi mümkündür. İnsan kullanımı için oluşturulan yapay iklimli ortamlarda amaç, her bireyin ısıl konfora sahip olacağı bir ısıl ortamın oluşturulmasıdır. İnsanların zihinsel, fiziksel ve algısal performansları, ısıl konforda bulunduklarında genelde en üst seviyededir (4).

Konu ile ilgili yapılan çalışmalarda, vücudun çeşitli kısımlarından olan ısı kayıplarını farklı giysiler için incelemiştir(2). Fakat çalışmada, vücudun konfor bölgesinde olması için ısıl konfor parametrelerinin nasıl değiştiği belirtilmemiştir. ısıl konfor şartlarına etkileyen parametreleri ve vücut ile çevre arasındaki ısı geçiş mekanizmalarını detaylı olarak anlatarak çevreyle gerçekleşen ısı ve kütle transferi denklemlerini özetlemiştir (3). Çalışmada ayrıca, insanın farklı aktivitelerde (uyuma, oturma, ayakta durma, koşma, otomobil kullanma, çalışma vs.) vücudun ürettiği ısı, giysilerin ısıl dirençleri, insanla çevreleyen yüzeyler arasındaki görüş faktörü geniş olarak ele alınarak farklı hava hızı ve giysi durumlarında kişinin aktivitesiyle tahmini ortalama oy (PMV) değerinin değişimini verilmiştir. Çok soğuk kiş şartlarında otomobil içindeki konfor şartlarını incelemiştir (5). Otomobil içinde ısıtma sürecini deneySEL olarak tespit ederek bu süreçte vücuttan olan ısı kayıplarının ve ortam şartlarının ısıl duyum üzerindeki etkisi incelenmiştir. Kapalı mekanlarda ısıl konfor şartlarını etkileyen çevresel ve kişisel toplam altı parametreyi ve bunun yanında hava kalitesinin kapalı mekan konfor şartları üzerindeki etkilerini incelemiştir (6). Teorik ve deneySEL ısıl konfor modellerini incelemiş ve birbirleri ile karşılaştırmalar yaparak modellerin uygunluğunu tartışmıştır (7). Farklı metabolik aktivitelerde deri ve iç bölme sıcaklıklarının değişimi verilmiş ancak çevresel parametrelerin, insan fizyolojisine ve ısıl konfor şartlarına etkileri araştırılmamıştır. ısıl konfor için iç ortamlarda olması gereken sıcaklıktan daha çok bu şartların nasıl oluşturulacağı üzerinde durmuştur (11). İncelenen mekanın farklı koordinatlarında hava hızı ve sıcaklık dağılımını ve bunun ısıl duyum üzerindeki etkisi verilmiştir. Toftum ve Fanger (14) ve Fountain ve ark. (15) bağıl nemin ısıl konfor şartları üzerindeki etkilerini incelemiştir. Farklı sıcaklıklarda ortamda bağıl nem oranına bağlı olarak izafi deri ıslaklığının değişimini ve deri ıslaklığı ile memnun olmayanların oranı (PPD) arasındaki ilişkiyi vermiştir (14). Ayrıca hava kalitesini algılamada solunan hava sıcaklığının ve neminin önemini vurgulayarak sınır değerleri vermiştir. 20 C sıcaklık, %60 bağıl nemden 26 C sıcaklık, %90 bağıl nem şartlarına kadar 0,5 clo ve 0,9 clo iki giysi yalıtım değeri, 1,2, 1,6 ve 4 met aktivite değerlerinde ısıl konfor şartlarını incelemiştir (15). 1,6 met ve üzeri aktivite değerleri için, verilen şartlarda PPD değerinin %25'in altına indirebilecek pratik bir bağıl nem değerinin olmadığı sonucuna varmışlardır.

İnsan vücudu ile çevre arasında sürekli bir ısıl etkileşim söz konusudur. Çevre şartlarının değişmesi sonucu vücut, fizyolojik kontrol mekanizmalarını (vazokonstriksiyon, vazodilasyon, titreme, terleme) devreye sokarak çevre ile ısı dengesi kurmaya çalışır. Ancak vücudun üretmiş olduğu ısıyla çevreye olan kayıpların birbirine eşit olması, ısıl konforun sağlanması için yeterli olmamaktadır (3). Sürekli rejim enerji dengesi modelinde, ısıl konfor için gerekli deri sıcaklığı ($t_{sk,req}$), terlemeyle olan ısı kaybı ($E_{sk,req}$) değerleri verilmektedir. Bu çalışmada, gerekli deri sıcaklığı ve terlemeyle olan ısı kaybı değerlerinden hareketle, anlık enerji dengesi modelinde kullanılan vücut iç bölme sıcaklığı bulunmuştur. Vücut üzerindeki ısıl yükün yaklaşık sıfır olması gereği baz alınarak, ısıl konforu etkileyen parametreler belirlenmeye çalışılmıştır. Farklı aktivitelerde ısıl konforun sağlanması için gerekli ortam sıcaklığı, nem değeri, hava hızı ve kişinin giysi yalıtım dirençleri verilmiştir.

2. MATEMATİKSEL MODEL

Sürekli rejim enerji dengesi modeli

Fanger tarafından geliştirilen sürekli rejim modelleri, vücudun ısıl dengede olduğunu ve enerji depolamasının ihmali edilemeyeceğini kabul eder. Sürekli rejimde vücutta üretilen ısıl enerji, çevreye olan duyular ve gizli ısı kayıplarına eşittir. Dolayısıyla vücut sıcaklığı zamana göre değişmez. Vücuttan enerji dengesi 1 numaralı denklem ile tanımlanabilir (1,3),

$$\begin{aligned} M - W &= Q_{sk} + Q_{res} \\ &= (C + R + E_{sk}) + (C_{res} + E_{res}) \end{aligned} \quad [1]$$

burada M , vücudun metabolik enerji üretimi; W , yapılan dış iş olup bir çok iş için sıfırdır; Q_{sk} , giyinik vücuttan olan toplam ısı kaybı; Q_{res} , solunum yoluyla olan duyular ve gizli ısı kayıplarını göstermektedir. Vücuttan olan duyular ısı (taşınım ve ışınım) kayıpları aşağıda verilen eşitlikten hesaplanabilir,

$$(C + R) = \frac{t_{sk} - t_o}{R_{cl} + \frac{1}{(h_c + h_r) f_{cl}}} \quad [2]$$

burada, t_{sk} , deri sıcaklığı; R_{cl} , giysinin ısıl direnci; f_{cl} , giysi alan faktörüdür. Ortalama ışınım ve çevre havası sıcaklıklarını içine alan operatif sıcaklık (t_o) değeri ve giysi alan faktörü aşağıda verilen eşitliklerden bulunabilir (1),

$$t_o = \frac{h_r t_r^* + h_c t_a}{h_r + h_c} \quad [3]$$

$$f_{cl} = \begin{cases} 1,0 + 0,2 I_{cl} & I_{cl} < 0,5 \text{ clo} \\ 1,05 + 0,1 I_{cl} & I_{cl} > 0,5 \text{ clo} \end{cases} \quad [4]$$

burada h_c ve h_r sırasıyla ısı taşınım ve ışınım katsayıları, t_a ve t_r sırasıyla ortam ve ortalama ışınım sıcaklıklarıdır. Isı taşınım ve ışınım katsayıları ise (1,3),

$$h_c = \begin{cases} 2,38 (t_{cl} - t_a)^{0,25} & 2,38 (t_{cl} - t_a)^{0,25} > 12,1 (V)^{1/2} \\ 12,1 (V)^{1/2} & 2,38 (t_{cl} - t_a)^{0,25} < 12,1 (V)^{1/2} \end{cases} \quad [5]$$

$$h_r = 4\pi\sigma \left(A_r / A_b \right) \left(\frac{t_{cl} + t_r^*}{2} + 273,15 \right)^3 \quad [6]$$

eşitliklerinden bulunabilir. Burada, σ , giysi veya vücut yüzeyinin ortalama yayma katsayıısı; σ , Stefan-Boltzman sabiti; A_r , vücudun etkin ışınım alanı; A_b , vücut yüzey alanı; t_{cl} , ortalama giysi yüzey sıcaklığıdır. σ normal koşullarda (özel yansıtıcı malzemeler veya yüksek sıcaklıklar söz konusu değilse) 0,95, (A_r / A_b) oranı ayakta duran bir kişi için 0,73 alınması tavsiye edilmektedir (1). Ortalama giysi yüzey sıcaklığı ise,

$$\begin{aligned} t_{cl} &= 35,7 - 0,0275(M - W) - R_{cl} [(M - W) - 3,05 [5,73 - 0,007(M - W) - p_a] \\ &\quad - 0,42 [(M - W) - 58,15] - 0,0173M(5,87 - p_a) - 0,0014M(34 - t_a)] \end{aligned} \quad [7]$$

şeklinde tanımlanmaktadır. Solunum yoluyla olan duyular ve gizli ısı kayıpları ise;

$$C_{res} = \dot{m}_{res} \cdot c_{p,a} \cdot (t_{ex} - t_a) / A_b \quad [8]$$

$$E_{res} = \dot{m}_{res} \cdot h_{fg} \cdot (W_{ex} - W_a) / A_b \quad [9]$$

İfadeleriyle bulunabilir. Burada m_{res} , solunum debisi; t_{ex} ve W_{ex} sırasıyla solunumla dışarı atılan havanın sıcaklığı ve özgül nemidir.

$$\dot{m}_{res} = K_{res} \cdot M \quad [10]$$

$$t_{ex} = 32,6 + 0,066t_a + 32W_a \quad [11]$$

$$W_{ex} = 0,0277 + 0,000065t_a + 0,2W_a \quad [12]$$

Vücut ile çevre arasında kurulan ısı dengesi yani vücutta üretilen ısı ile çevreye olan ısı kayıplarının birbirini dengelemesi ısıl konfor için yeterli değildir. Çünkü vücudun ısı dengesinin sağlanabileceği çok geniş çevre şartları vardır. Bu geniş çevre şartlarından dar bir bölgede ısıl konfor sağlanabilmektedir. Belirli bir metabolik ısı üretiminde ısıl konforu sağlayan vücudun deri bölmesi sıcaklığı ve terleme ile oluşan ısı kaybı miktarı aşağıda verilen amprik bağıntılarla bulunabilmektedir (1),

$$t_{sk,req} = 35,7 - 0,0275 (M - W) \quad [13]$$

$$E_{rsw,req} = 0,42 \cdot (M - W - 58,15) \quad [14]$$

Anlık enerji dengesi modeli

Gagge ve arkadaşları tarafından geliştirilen model, insan vücudunu iç içe iki silindir olarak ele alır. İç silindir vücudun içini (iskelet, kaslar, iç organlar) dış silindir ise deri tabakasını simgelemektedir. Bu iki tabaka arasında direkt temasla ve kan akışı yoluyla ısı geçiş söz konusudur ve bu ısı geçişini vücudun denetim mekanizmalarıyla kontrol edilmektedir. Denetim mekanizmaları, denetim sinyalleriyle devreye girerek vücudun normal sıcaklığını korur. Bu işlemler beş sinyalle tetiklenir ve sinyaller sadece artı değerler alacak biçimde, gerçek sıcaklık (t) ile nötr sıcaklık (t_n) arasındaki fark olarak tanımlanır,

$$WSIG_{cr} = \begin{cases} 0 & t_{cr} \leq t_{cr,n} \\ t_{cr} - t_{cr,n} & t_{cr} > t_{cr,n} \end{cases} \quad [15]$$

$$CSIG_{cr} = \begin{cases} t_{cr,n} - t_{cr} & t_{cr} < t_{cr,n} \\ 0 & t_{cr} \geq t_{cr,n} \end{cases} \quad [16]$$

$$WSIG_{sk} = \begin{cases} 0 & t_{sk} \leq t_{sk,n} \\ t_{sk} - t_{sk,n} & t_{sk} > t_{sk,n} \end{cases} \quad [17]$$

$$CSIG_{sk} = \begin{cases} t_{sk,n} - t_{sk} & t_{sk} < t_{sk,n} \\ 0 & t_{sk} \geq t_{sk,n} \end{cases} \quad [18]$$

$$\text{WSIG}_b = \begin{cases} 0 & t_b \leq t_{b,n} \\ \frac{t_b - t_{b,n}}{t_b} & t_b > t_{b,n} \end{cases} \quad [19]$$

İç vücut ve deri tabakası arasındaki kan dolaşımı, sıcaklık denetim sinyalleri cinsinden matematiksel olarak 20 numaralı denklem yardımıyla ifade edilebilir.

$$\dot{m}_{bl} = [(6,3 + 200 \text{WSIG}_{cr}) / (1 + 0,5 \text{CSIG}_{sk})] / 3600 \quad [20]$$

Kan debisindeki değişimler, deri ve iç vücut bölmelerinin göreceli kütlelerini etkilemektedir. Bu etki;

$$\alpha = 0,0418 + 0,745 / (3600 \dot{m}_{bl} + 0,585) \quad [21]$$

bağıntısı ile verilmektedir (1,3). İnsan vücudunun ortalama sıcaklığı, deri ve iç vücut sıcaklıklarının ağırlıklı ortalaması alınarak,

$$t_b = \alpha \cdot t_{sk} + (1 - \alpha) \cdot t_{cr} \quad [22]$$

hesaplanır. Deriden buharlaşma ile olan toplam ısı kaybı, vücudun salgılampmış olduğu terin buharlaşması ve terin deriden doğal difüzyonu ile gerçekleşir.

$$E_{sk} = E_{rsw} + E_{dif} \quad [23]$$

Terleme sonucu olan buharlaşma ile ısı kaybı (E_{rsw}) üretilen ter ile doğru orantılıdır. Maksimum buharlaşma potansiyelini gösteren E_{max} , derinin tamamının ıslak olması ($w = 1$) durumunda gerçekleşir.

$$E_{max} = (p_{sk,s} - p_a) / (R_{e,cl} + 1/(f_{cl} \cdot h_e)) \quad [24]$$

$$E_{rsw} = \dot{m}_{rsw} \cdot h_{fg} \quad [25]$$

Üretilen ter miktarı, hem iç vücut hem de deriden gelen ılk sinyallerle orantılıdır.

$$\dot{m}_{rsw} = 4,7 \cdot 10^{-5} \cdot \text{WSIG}_b \cdot \exp\left(\frac{\text{WSIG}_{sk}}{10,7}\right) \quad [26]$$

Toplam deri ıslaklığı olan w , terin buharlaşması için gerekli olan deri ıslaklığı (w_{rsw}) ile doğal difüzyonu için gerekli olan deri ıslaklığının (w_{dif}) toplamıdır.

$$w = w_{rsw} + w_{dif} \quad [27]$$

Buradaki w_{rsw} ve w_{dif} aşağıda verilen denklemlerle bulunabilir,

$$w_{rsw} = \frac{E_{rsw}}{E_{max}} \quad [28]$$

$$w_{dif} = 0,06 (1 - w_{rsw}) \quad [29]$$

Terin deriden doğal difüzyonu ile olan ısı kaybı,

$$E_{dif} = w_{dif} \cdot E_{max} \quad [30]$$

Giysinin buharlaşmayla olan ısı geçişine göstermiş olduğu direnç (1,9),

$$R_{e,cl} = R_{cl} / (i_{cl} \cdot LR) \quad [31]$$

ifadesiyle hesaplanabilir. Burada i_{cl} , giysinin buhar geçirgenlik verimi; LR, Lewis oranıdır. İç ortamlarda

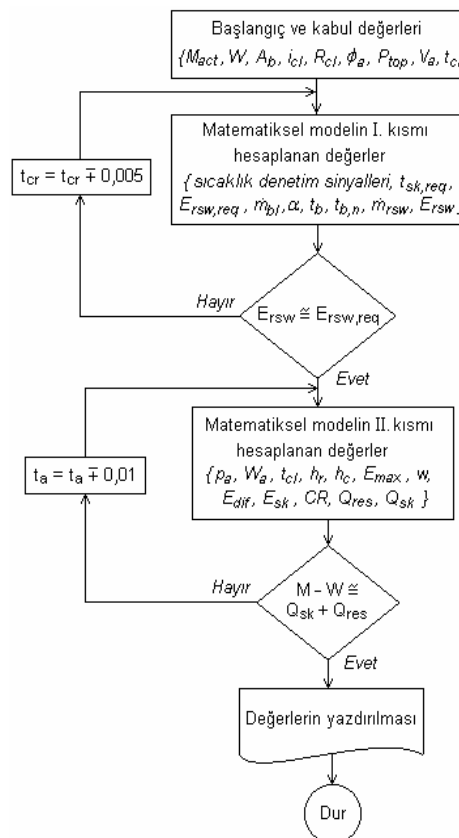
genelde kullanılan giysiler için $i_{cl} = 0,34$ değeri ortalama bir değer olarak önerilmektedir (9). Lewis oranı, buharlaşma ile ısı geçiş katsayısının (h_e) taşınımla ısı geçiş katsayısına (h_o) oranıdır. Aşağıda verilen denklem yardımıyla bulunduktan sonra he değerini hesaplamak için kullanılır (5).

$$LR = 15,15 \left(t_{sk} + 273,15 \right) / 273,15 \quad [32]$$

Buraya kadar verilen denklemler yardımıyla vücuttan çevreye olan toplam ısı kayıpları (deriden taşınım, işnim, buharlaşma kayıpları ve solunumla olan duyular ve gizli ısı kayıpları) bulunabilmektedir. Sürekli rejim enerji dengesi kısmında verilen konfor için gerekli deri sıcaklığı ve terleme nedeni ile gerçekleşen ısı kaybı değerlerinden hareketle vücutun iç bölme sıcaklığı bulunabilir. Daha sonra, vücutun enerji dengesini gösteren 1 numaralı denklem yardımıyla vücut üzerindeki ıslık yükün yaklaşık sıfır olması için konforu optimize eden, insan ve çevre ile ilgili temel parametrelerin (giysi, aktivite, ortam sıcaklığı, nem, hava hızı, ortalama işnim sıcaklığı) değişimi bulunabilmektedir.

3. SİMÜLASYON

Matematiksel Model kısmında verilen bağıntılar Delphi 6.0 programlama diliyle bilgisayar ortamına aktarılmıştır. Programın akış şeması Şekil 1'de verilmiştir. Program ıslık konfor şartlarını etkileyen çevresel ve kişisel parametrelerden herhangi birinin kolaylıkla değiştirilebilmesi için esnek yazılmıştır. Şekil 1'de verilen program akış şemasında bu parametrelerden ortam sıcaklığı (t_a) örnek alınarak simülasyonun adımları gösterilmiştir. Program temel olarak iki kısımdan oluşmaktadır. Birinci kısımda, kişinin aktivite düzeyi (M_{act}), giysi durumu (R_{cl}), giysinin buhar geçirgenlik verimi (i_{cl}), vücut yüzey alanı (A_b) vb. başlangıç ve kabul değerleri girilmekte ve program bu değerlerden hareketle terlemeyle olan ısı kaybı (E_{rsw}) değerini hesaplamaktadır. Daha sonra konfor için gerekli olan ve simülasyon sonucu bulunan terleme kayıpları karşılaştırılmaktadır. Eğer $E_{rsw,r_{eq}} < E_{rsw}$ ise t_{cr} sıcaklığı artırılarak, $E_{rsw,req} > E_{rsw}$ ise t_{cr} sıcaklığı azaltılarak simülasyonun başına dönülmektedir. Dolayısıyla programın bu kısmında, belirli bir metabolik aktiviteye sahip bir insanın, konfor için gerekli t_{sk} ve E_{rsw} değerlerini veren t_{cr} sıcaklığı bulunmaktadır.

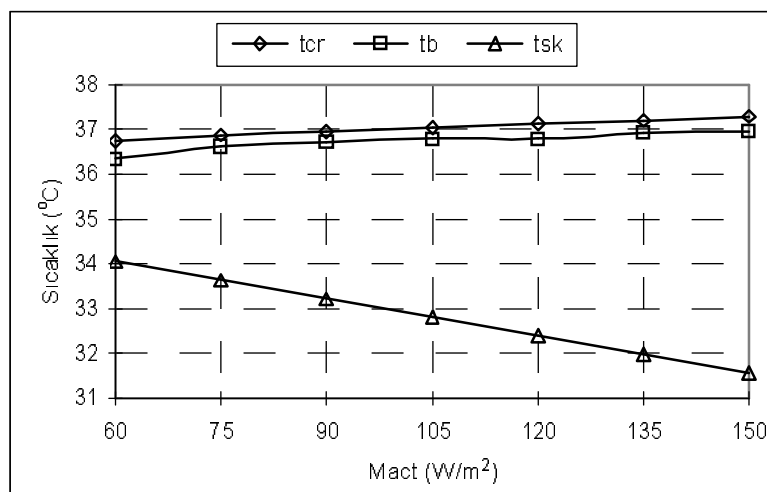


Şekil 1. Programın akış şeması

Programın ikinci kısmında ise başlangıçta girilen ve daha sonra hesaplanan değerler kullanılarak ortamın su buharı basıncı, özgül nemi, ortalama giysi yüzey sıcaklığı, taşınım ve ışınımla olan ısı geçiş katsayıları, vücuttan olan duyulur, gizli ve solunum kayipları bulunmakta ve enerji dengesini veren 1 numaralı bağıntıda yerine konmaktadır. Vücutta metabolik aktivitelerle üretilen ısı, vücuttan çevreye olan toplam ısı kayiplarından büyük ise t_a sıcaklığı azaltılırak, küçük ise artırılarak ısı dengesi sağlanıncaya kadar iterasyona devam edilmektedir. Programın bu kısmında vücut üzerindeki ıslık yükün yaklaşık sıfır olması için gerekli t_a sıcaklığı (veya ıslık konforu etkileyen parametrelerden herhangi birinin değeri) bulunabilmektedir.

4. BULGULAR ve DEĞERLENDİRME

Aşağıda verilen şekillerde aksi belirtildiği sürece ortamın bağıl nemi 0,5, hava hızı 0,1 m/s, $I_{cl} = 0,5$ clo (hafif, yazlık bir giysi), ortalama ışınım sıcaklığı ile ortam sıcaklığı birbirine eşit alınmıştır. Şekil 2'de ıslık konforu sağlayan vücudun iç bölme, deri tabakası ve ortalama sıcaklıklarları verilmiştir. Hareketlilik düzeyi attıkça vücut, ısı kayiplarını artırmak için deri sıcaklığını düşürür. Yüksek aktivitelerde vücut iç sıcaklığındaki artış, deri sıcaklığındaki düşüş ile dengeLENir. Böylece ortalama vücut sıcaklığı, iç vücut sıcaklığı ile deri sıcaklığı arasındaki fark artmış olmasına rağmen korunmuş olur (1).

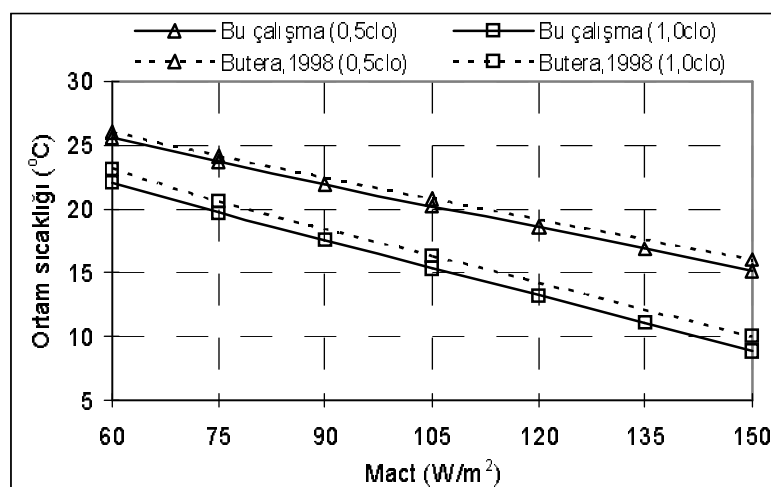


Şekil 2. ıslık konforu sağlayan vücudun iç bölme, ortalama ve deri tabakası sıcaklıklarının aktivite ile değişimi

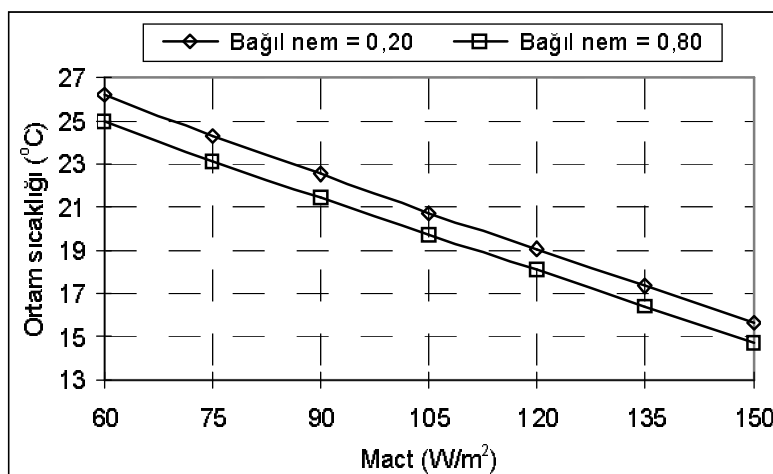
Şekil 3'de yazılık (~0,5 clo) ve kışlık (~1,0 clo) giysi durumlarında konfor için gerekli ortam sıcaklıklarları, (3) numaralı çalışmaya karşılaştırmalı olarak verilmiştir. Bu ortam sıcaklıklarında vücut, ıslık konforu sağlayan t_{sk} ve E_{rsw} değerlerine sahip olduğu gibi enerji dengesini gösteren 1 numaralı eşitliği de sağlamaktadır. Yani, vücuttan çevreye olan ısı geçisi ile vücutta üretilen ısı birbirini dengelemektedir. İnsanın hareketlilik düzeyi attıkça, ısı dengesinin kurulması için ısı kayiplarının da artması gerektiğinden ortam sıcaklığı azalmaktadır. Örnek olarak, dinlenme durumunda (~60 W/m²) ve hafif giysili bir kişi için ıslık konfor şartlarının sağlandığı ortam sıcaklığı 25,5°C iken orta aktiviteli (~120 W/m²) bir kişi için 18,2 °C'dır. Daha kalın giysi giyen bir kişi ise bu değerler biraz daha düşüktür. Çünkü, aynı çevre şartlarında giysi kalınlığı attıkça vücuttan olan duyulur ve gizli ısı kayipları azalmaktadır. Bu durumda vücut ile çevre arasındaki ısı dengesi daha düşük ortam sıcaklıklarında sağlanmaktadır.

Şekil 4'de bağıl nemin, vücut ile çevre arasında kurulan ısı dengesi üzerindeki etkisi görülmektedir. Ortamın bağıl nemi arttıkça, deriden buharlaşma yoluyla olan ısı kaybı için gerekli deri yüzeyi ile ortam arasındaki su buharının kısmi basınç farkı azalmaktadır. Bu basınç farkının azalmasıyla deriden buharlaşma yoluyla olan ısı kaybı da azalmaktadır. Bu nedenle, ısı dengesi için duyulur ısı kayiplarının

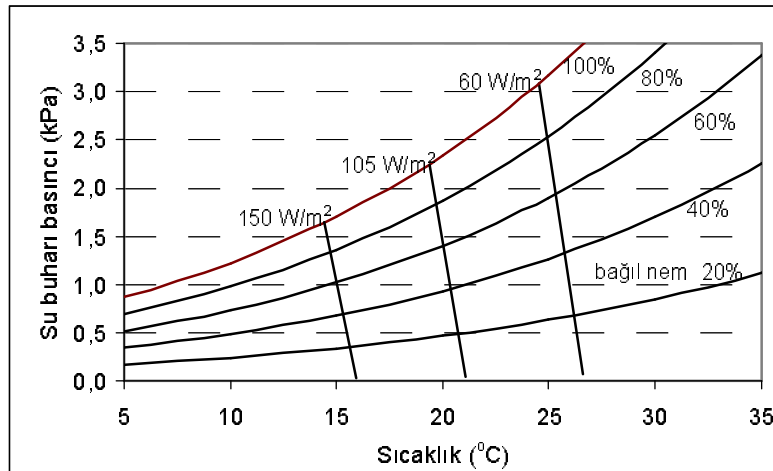
artması gerektiğinden daha düşük ortam sıcaklıklarına ihtiyaç duyulmaktadır. Bağıl nemin etkisi Şekil 5'de daha detaylı olarak görülmektedir. Şekil 5 incelendiğinde, sabit aktivite eğrilerinin biraz sola yattığı yani nem oranı arttıkça ortam sıcaklığın azaltılması gerektiği burada da görülmektedir. Literatürde, bağıl nemde her %10'luk azalma için sıcaklığın yaklaşık $0,3^{\circ}\text{C}$ artırılması gerektiği söylenmektedir (16). Ancak şu husus göz ardı edilmemelidir. Yapılan bu çalışmada, insan vücutu ile çevre arasında kurulacak ısı dengesi referans alınmıştır. Yani, %100 bağıl neme sahip bir ortamda yaklaşık $24,6^{\circ}\text{C}$ sıcaklığında vücut ile çevre arasında ısı dengesi kurulduğundan bu analiz yöntemi için bir sorun oluşturmamaktadır. Yapılan yeni araştırmalar, solunan havanın sıcaklık ve neminin, konfor algısını çok büyük oranda etkilediğini ortaya koymuştur. İnsanlar kuru ve serin havayı tercih etmektedirler (12). Genel olarak, bir mahalledeki nem oranının alt ve üst limit değerleri olarak %25-30 ile %60-70 verilmektedir (1,14,15). Bu nedenle bağıl nem için verilen limit değerlerin alt ve üst bölgelerinde ısı dengesi sağlanسا da bu bölgeler, konfor bölgesi olarak nitelendirilmemelidir.



Şekil 3. Farklı giysi yalıtımlı için gerekli ortam sıcaklığının aktivite ile değişimi

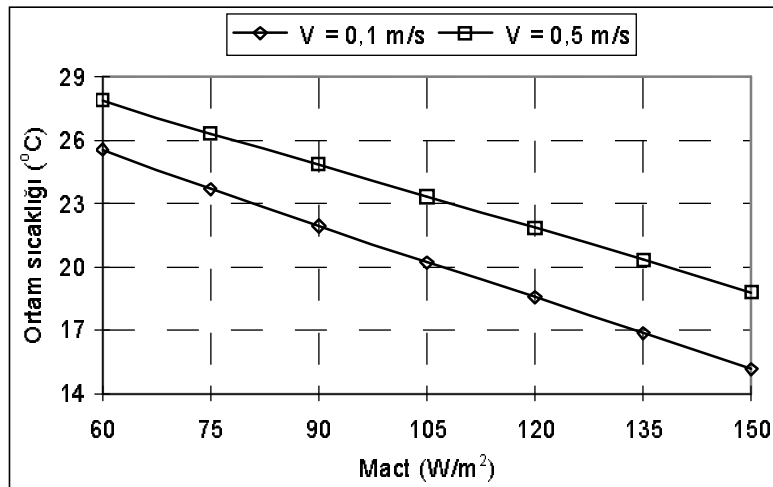


Şekil 4. Farklı bağıl nemde gerekli ortam sıcaklığının aktivite ile değişimi



Şekil 5. Farklı bağıl nemde ve aktivitede gerekli ortam sıcaklıkları

Şekil 6'da vücut üzerindeki ortalama hava hızının etkisi verilmiştir. Hava hızı arttıkça taşınım ve buharlaşma katsayıları artmaktadır. Bu, vücuttan çevreye olan duyular ve gizli ısı kayıplarının artmasına neden olur. Isık konforun ve ısı dengesinin sağlanması için ısı geçişinin azaltılması gereklidir. Bu nedenle hava hızı arttıkça ortam sıcaklığı artırılmalıdır.



Şekil 6. Farklı hava hızlarında gerekli ortam sıcaklığının aktivite ile değişimi

5. SONUÇ

Bu çalışmada, insanın yapmış olduğu aktivitelerde, isık konforu sağlayan deri tabakası sıcaklığı ve terlemeyle olan ısı kaybı bağıntılarından yola çıkarak vücutun iç bölme ve ortalama sıcaklıklarını tespit edilmiştir. Isık konforu sağlayan t_{sk} , E_{rsw} ve t_{cr} değerleri, deriden duyular ısısını ($C+R$) veren 2 nolu ve gizli ısı kayıplarını (E_{sk}) veren 23 nolu denklemlerde yerlerine konularak, vücut ile çevre arasındaki enerji dengesini gösteren 1 nolu denklem, sürekli rejimde konforu optimize eden insan ve çevre ile ilgili parametreleri belirlemek için kullanılmıştır. Çalışma sonunda variolan sonuçlar özetle şunlardır:

Aktivite arttıkça isık konforun sağlandığı vücut deri tabakası sıcaklığı düşerken iç bölme ve ortalama sıcaklığı az da olsa artmaktadır.

Aktivite veya giysi yalıtımı arttıkça ıslı konforun sağlandığı ortam sıcaklığı azalmaktadır. Aktivitenin artması durumunda vücutundan ürettiği ısı fazlalaştığından, giysi yalıtımının artması durumunda ise üretilen ısı kolayca çevreye atılamadığında ortam sıcaklığının azaltılması gerekmektedir.

Ortamın bağıl nemi arttıkça, deri yüzeyi ile ortam arasındaki su buharı kısmi basınç farkı azalmakta ve bu azalma sonucu deriden buharlaşma ile ısı kaybı rahat olamamaktadır. Bu nedenle bağıl nem arttıkça ıslı konfor, ısı kayıplarının arttığı daha düşük ortam sıcaklıklarında sağlanmaktadır.

İnsanlar, bağıl nemi yüksek olan ortamlarda kendilerini konforlu hissedebilmeleri için yalıtım direnci düşük giysiler giymelidir. Ancak ısı dengesi açısından bağıl nem, ortam sıcaklığı kadar etkili değildir. Örnek olarak, $25,5^{\circ}\text{C}$ ortam sıcaklığında ve düşük aktivitede (60 W/m^2), bağıl nem 0,5'den 0,8'e çıkması durumunda konfor şartlarının bozulmaması için giysi yalıtımı 0,5 clo'dan 0,42 clo değerine indirilmesi gerekirken ortam sıcaklığının 1 derece artması giysi yalıtımını 0,5 clo'dan 0,37 clo değerine indirilmesini gerektirmektedir.

Hava hızının artması ısı kayıplarını artırmaktadır. Yüksek hava hızlarının olduğu ortamlarda insanların rahat ve konforlu hissedebilmeleri için ortam sıcaklığı biraz daha yüksek olmalıdır. Dinlenme durumunda ve hava hızının $0,1 \text{ m/s}$ olduğu bir ortamda bulunan bir kişi $25,5^{\circ}\text{C}$ ortam sıcaklığında konforlu iken hava hızı $0,5 \text{ m/s}$ olması durumunda $27,8^{\circ}\text{C}$ ortam sıcaklığında konforlu olmaktadır.

6. SİMGELER

A_b	: Vücut yüzey alanı, m^2
$c_{p,a}$: Havanın özgül ısısı, kJ/kgK
$c_{p,b}$: Vücutun özgül ısısı, kJ/kgK
C_{res}	: Solunum nedeniyle duyulur ısı kaybı, W/m^2
$C+R$: Deriden toplam duyulur ısı kaybı, W/m^2
$CSIG_{cr}$: Vücutun iç bölmesinden gelen soğuk sinyal
$CSIG_{sk}$: Deriden gelen soğuk sinyal
E_{dif}	: Terin deriden doğal difüzyonuya olan ısı kaybı, W/m^2
E_{max}	: Maksimum buharlaşmayla olan ısı kaybı, W/m^2
E_{res}	: Solunum nedeniyle gizli ısı kaybı, W/m^2
E_{rsw}	: Deriden terin buharlaşmasıyla olan ısı kaybı, W/m^2
$E_{rsw,req}$: Isıl konforu sağlayan deriden terin buharlaşmasıyla gerekli ısı kaybı, W/m^2
E_{sk}	: Deriden toplam gizli ısı kaybı, W/m^2
f_{cl}	: Giysi alan faktörü, boyutsuz
h_c	: Taşınım ile ısı geçiş katsayısı, $\text{W/m}^2\text{K}$
h_e	: Buharlaşma ile ısı geçiş katsayısı, $\text{W/m}^2\text{kPa}$
h_r	: İşinim ile ısı geçiş katsayısı, $\text{W/m}^2\text{K}$
h_{fg}	: Suyun buharlaşma gizli ısısı, kJ/kg
I_{cl}	: Giysinin ısı yalıtım direnci, clo [1 clo = $0,1548 (\text{m}^2\text{K})/\text{W}$]
i_{cl}	: Giysinin buhar geçirgenlik verimi, boyutsuz
K_{res}	: Oranlama sabiti, $\text{kg.m}^2/\text{kJ}$
LR	: Lewis oranı (h_e/h_c), $^{\circ}\text{C/kPa}$
\dot{m}_{bl}	: İç vücut ile deri tabakası arasındaki kan dolasımı, $\text{kg}/\text{s.m}^2$
\dot{m}_{res}	: Solunum debisi, $\text{kg}/\text{s.m}^2$
M	: Toplam metabolik ısı üretimi, W/m^2
M_{ad}	: Aktivite ile gerçekleşen metabolik ısı üretimi, W/m^2
p_a	: Çevre ortamı için subuharı basıncı, kPa
$p_{sk,s}$: t_{sk} sıcaklığında doymuş havada subuharı basıncı, kPa
Q_{sk}	: Deriden toplam ısı kaybı, W/m^2

Q_{res}	: Solunumla toplam ısı kaybı, W/m^2
PMV	: Tahmini ortalama oy, boyutsuz
PPD	: Memnun olmayanların yüzdesi, boyutsuz
R_{cl}	: Giysinin ısı yalıtım direnci, $(\text{m}^2 \cdot \text{K})/\text{W}$
$R_{e,cl}$: Giysinin buharlaşma direnci, $(\text{m}^2 \cdot \text{kPa})/\text{W}$
t_a	: Ortam sıcaklığı, $^{\circ}\text{C}$
t_b	: Ortalama vücut sıcaklığı, $^{\circ}\text{C}$
t_{cr}	: İç vücut sıcaklığı, $^{\circ}\text{C}$
t_{ex}	: Dışarı solunan havanın sıcaklığı, $^{\circ}\text{C}$
t_n	: Nötr sıcaklıklar, $^{\circ}\text{C}$
t_o	: Operatif sıcaklık, $^{\circ}\text{C}$
t_r^*	: Ortalama ışınım sıcaklığı, $^{\circ}\text{C}$
t_{sk}	: Deri tabakası sıcaklığı, $^{\circ}\text{C}$
$t_{sk,req}$: Isıl konforu sağlayan deri tabakası sıcaklığı, $^{\circ}\text{C}$
w	: Deri ıslaklığı, boyutsuz
w_{dif}	: Terin doğal difüzyonu için gerekli deri ıslaklığı, boyutsuz
w_{fsw}	: Terin buharlaşması için derinin ıslak olması gereken kısmı, boyutsuz
W	: Yapılan dış iş, W/m^2
W_a	: Çevre havasının mutlak nemi, $\text{kgH}_2\text{O} / \text{kg kuru hava}$
W_{ex}	: Dışarı solunan havanın mutlak nemi, $\text{kgH}_2\text{O} / \text{kg kuru hava}$
$WSIG_b$: Vücuttan gelen ılk sinyal
$WSIG_{cr}$: Vücutdun iç bölmesinden gelen ılk sinyal
$WSIG_{sk}$: Deriden gelen ılk sinyal
α	: Vücutdun toplam kütlesinin deri bölmesinde bulunan kısmı, boyutsuz
1 met	: Metabolik hız ($\sim 58,15 \text{ W}/\text{m}^2$)

KAYNAKLAR

- ASHRAE handbook - Fundamentals, " Atlanta: American Society of Heating, *Refrigeration and Air-Conditioning Engineers.*, (8):34 (1989).
- Yiğit, A., "The Computer-based human thermal model" *Int. Comm. Heat Mass Transfer*, 25(7): 969-977 (1998).
- Butera, F.M., "Chapter 3- principles of thermal comfort" *Renewable and Sustainable Energy Reviews*, 2: 39-66 (1998).
- Özdemir, H., Melek, D., Kaykayoğlu, C.R., "Yolcu otobüslerinde seyir halinde kabin içi sıcaklık dağılımın bilgisayar destekli analizi" *İTÜ Makine Mühendisliği Kongresi*, 4-7 Haziran, 36-43 (1997).
- Burch, S.D., Ramadhyani, S. and Pearson, J.T., "Analysis of passenger thermal comfort in an automobile under severe winter conditioning" *ASHRAE Transactions*, 97 (1991).
- Höppe, P., Martinac, I., "Indoor climate and air quality" *Int. J. Biometeorol*, 42: 1-7 (1998).
- Horuz, İ., ve Yiğit, A., "Isıl konfor modellerinin incelenmesi ve karşılaştırılması" *10. Ulusal İstı Bilimi ve Tekniği Kongresi*, 613-622 (1995).
- de Dear, R.J., Knudsen, H.N. and Fanger, P.O., "Impact of air humidity on thermal comfort during step-changes" *ASHRAE Transactions*, 95(2): (1989).
- McCullough, E.A., Jones, B.W. and Tamura, T., "A data base for determining the evaporative resistance of clothing" *ASHRAE Transactions*, 95(2): 316-328 (1989).
- Semiz, B.D., İnsan snatomisi ve fizyolojisi, *Marmara Üniversitesi*, 476: 207 (1990).
- Cho, S.H., Kim, W.T. and Zaheer-uddin, M., "Thermal characteristics of a personal environment module task air conditioning system: an experimental study" *Energy Conversion and Management*, 42: 1023-1031 (2001).
- Fanger, P.O., "Human requirements in future air-conditioning environments" *International Journal of Refrigeration*, 24: 148-153 (2001).
- Tamer, Ş., Klima ve Havalandırma, Cilt I, 2. Baskı, *Meteksan Baskı*, Ankara, 193: 220 (1990).

14. Toftum, J. and Fanger, P.O., "Air humidity requirements for human comfort" *ASHRAE Transactions*, 99 (1999).
15. Fountain, M.E, Arens, E.A., Tengfang, X., Bauman, F.S. and Oguru, M., "An investigation of thermal comfort at high humidities" *ASHRAE Transactions*, 94 (1999).
16. Nevins, R., Rohles, F., Springer, W. and Feyerherm, A., "Temperature Humidity chart for thermal comfort of seated persons" *ASHRAE Transactions*, 72: 283-291 (1966).

Geliş Tarihi: 30.09.2002

Kabul Tarihi: 02.01.2003